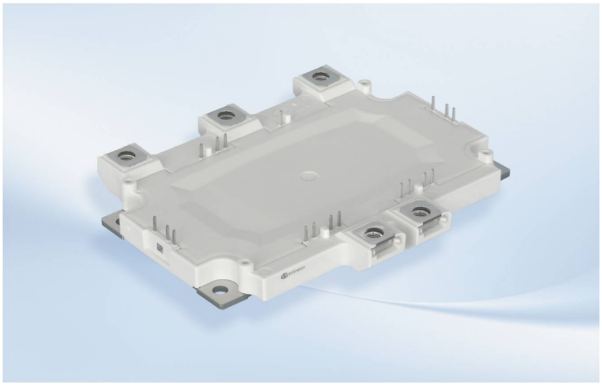
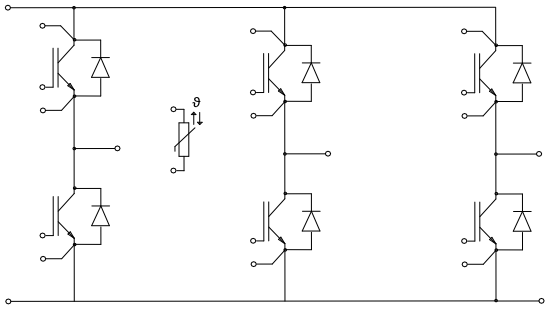
# Technische Information / Technical Information

IGBT-Module
IGBT-modules

# FS400R07A1E3

HybridPACK™1 Modul mit Trench/Feldstopp IGBT3 und Emitter Controlled 3 Diode und NTC
HybridPACK™1 module with Trench/Fieldstop IGBT3 and Emitter Controlled 3 diode and NTC





$V_{CES}$ = 650V
$I_{C\ nom}$ = 400A / $I_{CRM}$ = 800A

## Typische Anwendungen

- Anwendungen im Automobil
- Hybrid-Elektrofahrzeuge (H)EV
- Hybrid-Nutzfahrzeuge
- Motorantriebe

## Typical Applications

- Automotive Applications
- Hybrid Electrical Vehicles (H)EV
- Commercial Agriculture Vehicles
- Motor Drives

## Elektrische Eigenschaften

- Niedrige Schaltverluste
- Niedriges $V_{CEsat}$
- Trench IGBT 3
- $T_{vj\ op}$ = 150°C
- $V_{CEsat}$ mit positivem Temperaturkoeffizienten

## Electrical Features

- Low Switching Losses
- Low $V_{CEsat}$
- Trench IGBT 3
- $T_{vj\ op}$ = 150°C
- $V_{CEsat}$ with positive Temperature Coefficient

## Mechanische Eigenschaften

- 2,5 kV AC 1min Isolationsfestigkeit
- $Al_2O_3$ Substrat mit kleinem thermischen Widerstand
- Hohe mechanische Robustheit
- Integrierter NTC Temperatur Sensor
- Kupferbodenplatte
- RoHS konform
- Standardgehäuse

## Mechanical Features

- 2.5 kV AC 1min Insulation
- $Al_2O_3$ Substrate with Low Thermal Resistance
- High mechanical robustness
- Integrated NTC temperature sensor
- Copper Base Plate
- RoHS compliant
- Standard Housing

## Module Label Code

**Barcode Code 128**

Sample
00000123456000000000000

**DMX - Code**

| Content of the Code | Digit |
|---|---|
| Module Serial Number | 1 - 5 |
| Module Material Number | 6 - 11 |
| Production Order Number | 12 - 19 |
| Datecode (Production Year) | 20 - 21 |
| Datecode (Production Week) | 22 - 23 |

| | | |
|---|---|---|
| prepared by: JZ | date of publication: 2013-11-05 | |
| approved by: LB | revision: 3.1 | UL approved (E83335) |

## IGBT,Wechselrichter / IGBT,Inverter

### Höchstzulässige Werte / Maximum Rated Values

| | | | | |
|---|---|---|---|---|
| Kollektor-Emitter-Sperrspannung<br>Collector-emitter voltage | $T_{vj}$ = 25°C | $V_{CES}$ | 650 | V |
| Kollektor-Dauergleichstrom<br>Continuous DC collector current | $T_C$ = 65°C, $T_{vj\,max}$ = 175°C<br>$T_C$ = 25°C, $T_{vj\,max}$ = 175°C | $I_{C\,nom}$<br>$I_C$ | 400<br>500 | A<br>A |
| Periodischer Kollektor-Spitzenstrom<br>Repetitive peak collector current | $t_P$ = 1 ms | $I_{CRM}$ | 800 | A |
| Gesamt-Verlustleistung<br>Total power dissipation | $T_C$ = 25°C, $T_{vj\,max}$ = 175°C | $P_{tot}$ | 1250 | W |
| Gate-Emitter-Spitzenspannung<br>Gate-emitter peak voltage | | $V_{GES}$ | +/-20 | V |

### Charakteristische Werte / Characteristic Values

| | | | min. | typ. | max. | |
|---|---|---|---|---|---|---|
| Kollektor-Emitter-Sättigungsspannung<br>Collector-emitter saturation voltage | $I_C$ = 400 A, $V_{GE}$ = 15 V<br>$I_C$ = 400 A, $V_{GE}$ = 15 V<br>$I_C$ = 400 A, $V_{GE}$ = 15 V | $T_{vj}$ = 25°C<br>$T_{vj}$ = 125°C<br>$T_{vj}$ = 150°C | $V_{CE\,sat}$ | | 1,45<br>1,60<br>1,70 | 1,90 | V<br>V<br>V |
| Gate-Schwellenspannung<br>Gate threshold voltage | $I_C$ = 6,40 mA, $V_{CE}$ = $V_{GE}$, $T_{vj}$ = 25°C | | $V_{GEth}$ | 4,9 | 5,8 | 6,5 | V |
| Gateladung<br>Gate charge | $V_{GE}$ = -15 V ... +15 V | | $Q_G$ | | 4,30 | | µC |
| Interner Gatewiderstand<br>Internal gate resistor | $T_{vj}$ = 25°C | | $R_{Gint}$ | | 1,0 | | Ω |
| Eingangskapazität<br>Input capacitance | f = 1 MHz, $T_{vj}$ = 25°C, $V_{CE}$ = 25 V, $V_{GE}$ = 0 V | | $C_{ies}$ | | 26,0 | | nF |
| Rückwirkungskapazität<br>Reverse transfer capacitance | f = 1 MHz, $T_{vj}$ = 25°C, $V_{CE}$ = 25 V, $V_{GE}$ = 0 V | | $C_{res}$ | | 0,76 | | nF |
| Kollektor-Emitter-Reststrom<br>Collector-emitter cut-off current | $V_{CE}$ = 650 V, $V_{GE}$ = 0 V, $T_{vj}$ = 25°C | | $I_{CES}$ | | | 1,0 | mA |
| Gate-Emitter-Reststrom<br>Gate-emitter leakage current | $V_{CE}$ = 0 V, $V_{GE}$ = 20 V, $T_{vj}$ = 25°C | | $I_{GES}$ | | | 400 | nA |
| Einschaltverzögerungszeit, induktive Last<br>Turn-on delay time, inductive load | $I_C$ = 400 A, $V_{CE}$ = 300 V<br>$V_{GE}$ = ±15 V<br>$R_{Gon}$ = 1,8 Ω | $T_{vj}$ = 25°C<br>$T_{vj}$ = 125°C<br>$T_{vj}$ = 150°C | $t_{d\,on}$ | | 0,10<br>0,11<br>0,12 | | µs<br>µs<br>µs |
| Anstiegszeit, induktive Last<br>Rise time, inductive load | $I_C$ = 400 A, $V_{CE}$ = 300 V<br>$V_{GE}$ = ±15 V<br>$R_{Gon}$ = 1,8 Ω | $T_{vj}$ = 25°C<br>$T_{vj}$ = 125°C<br>$T_{vj}$ = 150°C | $t_r$ | | 0,08<br>0,08<br>0,08 | | µs<br>µs<br>µs |
| Abschaltverzögerungszeit, induktive Last<br>Turn-off delay time, inductive load | $I_C$ = 400 A, $V_{CE}$ = 300 V<br>$V_{GE}$ = ±15 V<br>$R_{Goff}$ = 1,8 Ω | $T_{vj}$ = 25°C<br>$T_{vj}$ = 125°C<br>$T_{vj}$ = 150°C | $t_{d\,off}$ | | 0,46<br>0,50<br>0,50 | | µs<br>µs<br>µs |
| Fallzeit, induktive Last<br>Fall time, inductive load | $I_C$ = 400 A, $V_{CE}$ = 300 V<br>$V_{GE}$ = ±15 V<br>$R_{Goff}$ = 1,8 Ω | $T_{vj}$ = 25°C<br>$T_{vj}$ = 125°C<br>$T_{vj}$ = 150°C | $t_f$ | | 0,05<br>0,07<br>0,08 | | µs<br>µs<br>µs |
| Einschaltverlustenergie pro Puls<br>Turn-on energy loss per pulse | $I_C$ = 400 A, $V_{CE}$ = 300 V, $L_S$ = 25 nH<br>$V_{GE}$ = ±15 V, di/dt = 5500 A/µs ($T_{vj}$ = 150°C)<br>$R_{Gon}$ = 1,8 Ω | $T_{vj}$ = 25°C<br>$T_{vj}$ = 125°C<br>$T_{vj}$ = 150°C | $E_{on}$ | | 2,90<br>4,20<br>4,50 | | mJ<br>mJ<br>mJ |
| Abschaltverlustenergie pro Puls<br>Turn-off energy loss per pulse | $I_C$ = 400 A, $V_{CE}$ = 300 V, $L_S$ = 25 nH<br>$V_{GE}$ = ±15 V, du/dt = 3000 V/µs ($T_{vj}$ = 150°C)<br>$R_{Goff}$ = 1,8 Ω | $T_{vj}$ = 25°C<br>$T_{vj}$ = 125°C<br>$T_{vj}$ = 150°C | $E_{off}$ | | 13,0<br>16,0<br>17,0 | | mJ<br>mJ<br>mJ |
| Kurzschlußverhalten<br>SC data | $V_{GE}$ ≤ 15 V, $V_{CC}$ = 360 V<br>$V_{CEmax}$ = $V_{CES}$ -$L_{sCE}$ ·di/dt | $t_P$ ≤ 8 µs, $T_{vj}$ = 25°C<br>$t_P$ ≤ 6 µs, $T_{vj}$ = 150°C | $I_{SC}$ | | 2800<br>2000 | | A<br>A |
| Wärmewiderstand, Chip bis Gehäuse<br>Thermal resistance, junction to case | pro IGBT / per IGBT | | $R_{thJC}$ | | | 0,12 | K/W |
| Wärmewiderstand, Gehäuse bis Kühlkörper<br>Thermal resistance, case to heatsink | pro IGBT / per IGBT<br>$\lambda_{Paste}$ = 1 W/(m·K) / $\lambda_{grease}$ = 1 W/(m·K) | | $R_{thCH}$ | | 0,08 | | K/W |
| Temperatur im Schaltbetrieb<br>Temperature under switching conditions | | | $T_{vj\,op}$ | -40 | | 150 | °C |

| | |
|---|---|
| prepared by: JZ | date of publication: 2013-11-05 |
| approved by: LB | revision: 3.1 |

## Diode, Wechselrichter / Diode, Inverter

### Höchstzulässige Werte / Maximum Rated Values

| | | | | | |
|---|---|---|---|---|---|
| Periodische Spitzensperrspannung<br>Repetitive peak reverse voltage | $T_{vj}$ = 25°C | $V_{RRM}$ | | 650 | V |
| Dauergleichstrom<br>Continuous DC forward current | | $I_F$ | | 400 | A |
| Periodischer Spitzenstrom<br>Repetitive peak forward current | $t_P$ = 1 ms | $I_{FRM}$ | | 800 | A |
| Grenzlastintegral<br>I²t - value | $V_R$ = 0 V, $t_P$ = 10 ms, $T_{vj}$ = 125°C<br>$V_R$ = 0 V, $t_P$ = 10 ms, $T_{vj}$ = 150°C | I²t | | 8800<br>8500 | A²s<br>A²s |

### Charakteristische Werte / Characteristic Values

| | | | min. | typ. | max. | |
|---|---|---|---|---|---|---|
| Durchlassspannung<br>Forward voltage | $I_F$ = 400 A, $V_{GE}$ = 0 V<br>$I_F$ = 400 A, $V_{GE}$ = 0 V<br>$I_F$ = 400 A, $V_{GE}$ = 0 V | $T_{vj}$ = 25°C<br>$T_{vj}$ = 125°C<br>$T_{vj}$ = 150°C | $V_F$ | | 1,55<br>1,50<br>1,45 | 1,95 | V<br>V<br>V |
| Rückstromspitze<br>Peak reverse recovery current | $I_F$ = 400 A, - $di_F/dt$ = 5500 A/µs ($T_{vj}$=150°C)<br>$V_R$ = 300 V<br>$V_{GE}$ = -15 V | $T_{vj}$ = 25°C<br>$T_{vj}$ = 125°C<br>$T_{vj}$ = 150°C | $I_{RM}$ | | 210<br>280<br>300 | | A<br>A<br>A |
| Sperrverzögerungsladung<br>Recovered charge | $I_F$ = 400 A, - $di_F/dt$ = 5500 A/µs ($T_{vj}$=150°C)<br>$V_R$ = 300 V<br>$V_{GE}$ = -15 V | $T_{vj}$ = 25°C<br>$T_{vj}$ = 125°C<br>$T_{vj}$ = 150°C | $Q_r$ | | 18,0<br>30,0<br>34,0 | | µC<br>µC<br>µC |
| Abschaltenergie pro Puls<br>Reverse recovery energy | $I_F$ = 400 A, - $di_F/dt$ = 5500 A/µs ($T_{vj}$=150°C)<br>$V_R$ = 300 V<br>$V_{GE}$ = -15 V | $T_{vj}$ = 25°C<br>$T_{vj}$ = 125°C<br>$T_{vj}$ = 150°C | $E_{rec}$ | | 3,60<br>7,25<br>8,30 | | mJ<br>mJ<br>mJ |
| Wärmewiderstand, Chip bis Gehäuse<br>Thermal resistance, junction to case | pro Diode / per diode | | $R_{thJC}$ | | | 0,20 | K/W |
| Wärmewiderstand, Gehäuse bis Kühlkörper<br>Thermal resistance, case to heatsink | pro Diode / per diode<br>$\lambda_{Paste}$ = 1 W/(m·K) / $\lambda_{grease}$ = 1 W/(m·K) | | $R_{thCH}$ | | 0,085 | | K/W |
| Temperatur im Schaltbetrieb<br>Temperature under switching conditions | | | $T_{vj\,op}$ | -40 | | 150 | °C |

## NTC-Widerstand / NTC-Thermistor

### Charakteristische Werte / Characteristic Values

| | | | min. | typ. | max. | |
|---|---|---|---|---|---|---|
| Nennwiderstand<br>Rated resistance | $T_C$ = 25°C | $R_{25}$ | | 5,00 | | kΩ |
| Abweichung von R100<br>Deviation of R100 | $T_C$ = 100°C, $R_{100}$ = 493 Ω | ΔR/R | -5 | | 5 | % |
| Verlustleistung<br>Power dissipation | $T_C$ = 25°C | $P_{25}$ | | | 20,0 | mW |
| B-Wert<br>B-value | $R_2 = R_{25} \exp [B_{25/50}(1/T_2 - 1/(298{,}15\ K))]$ | $B_{25/50}$ | | 3375 | | K |
| B-Wert<br>B-value | $R_2 = R_{25} \exp [B_{25/80}(1/T_2 - 1/(298{,}15\ K))]$ | $B_{25/80}$ | | 3411 | | K |
| B-Wert<br>B-value | $R_2 = R_{25} \exp [B_{25/100}(1/T_2 - 1/(298{,}15\ K))]$ | $B_{25/100}$ | | 3433 | | K |

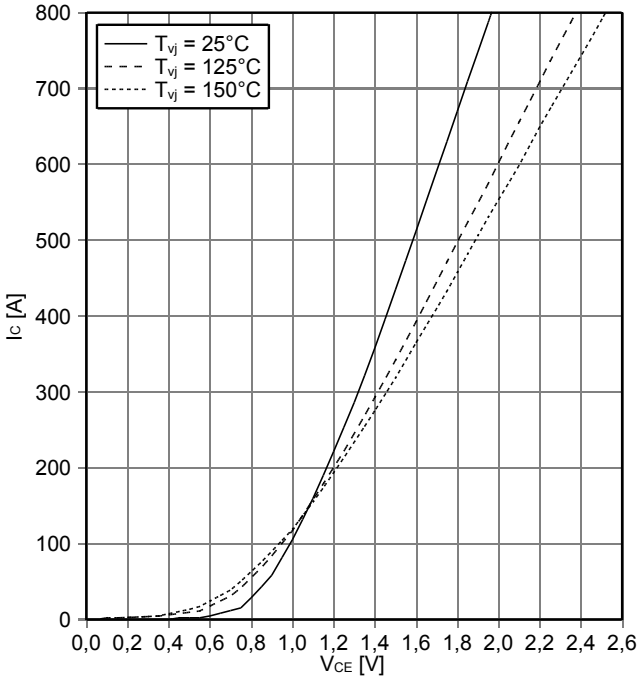
Angaben gemäß gültiger Application Note.
Specification according to the valid application note.

## Modul / Module

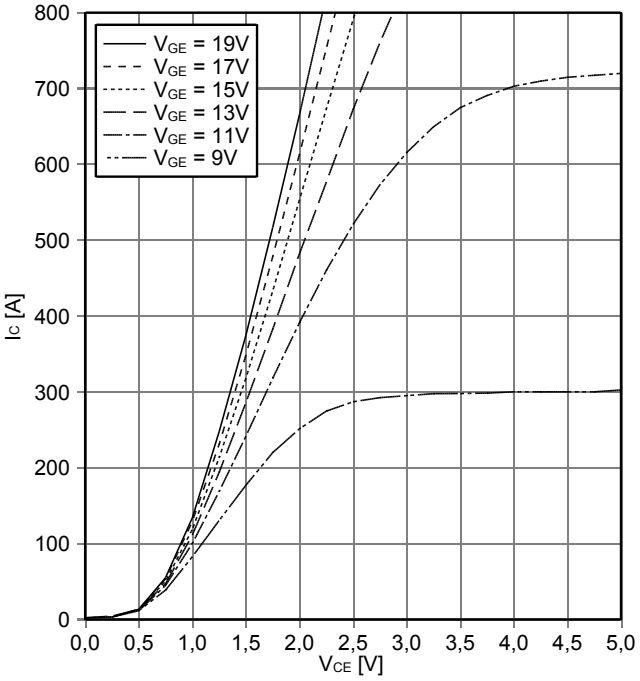
| | | | | | | |
|---|---|---|---|---|---|---|
| Isolations-Prüfspannung<br>Isolation test voltage | RMS, f = 50 Hz, t = 1 min. | $V_{ISOL}$ | | 2,5 | | kV |
| Material Modulgrundplatte<br>Material of module baseplate | | | | Cu | | |
| Innere Isolation<br>Internal isolation | Basisisolierung (Schutzklasse 1, EN61140)<br>basic insulation (class 1, IEC 61140) | | | $Al_2O_3$ | | |
| Kriechstrecke<br>Creepage distance | Kontakt - Kühlkörper / terminal to heatsink<br>Kontakt - Kontakt / terminal to terminal | | | 12,0<br>6,1 | | mm |
| Luftstrecke<br>Clearance | Kontakt - Kühlkörper / terminal to heatsink<br>Kontakt - Kontakt / terminal to terminal | | | 12,0<br>6,1 | | mm |
| Vergleichszahl der Kriechwegbildung<br>Comperative tracking index | | CTI | | > 200 | | |
| | | | min. | typ. | max. | |
| Modulstreuinduktivität<br>Stray inductance module | | $L_{sCE}$ | | 30 | | nH |
| Modulleitungswiderstand, Anschlüsse - Chip<br>Module lead resistance, terminals - chip | $T_C$ = 25°C, pro Schalter / per switch | $R_{CC'+EE'}$ | | 1,00 | | mΩ |
| Lagertemperatur<br>Storage temperature | | $T_{stg}$ | -40 | | 125 | °C |
| Anzugsdrehmoment f. Modulmontage<br>Mounting torque for modul mounting | Schraube M5 - Montage gem. gültiger Applikationsschrift<br>Screw M5 - Mounting according to valid application note | M | 3,00 | - | 6,00 | Nm |
| Anzugsdrehmoment f. elektr. Anschlüsse<br>Terminal connection torque | Schraube M6 - Montage gem. gültiger Applikationsschrift<br>Screw M6 - Mounting according to valid application note | M | 3,0 | - | 6,0 | Nm |
| Gewicht<br>Weight | | G | | 485 | | g |

Der Kollektor-Dauergleichstrom / Dioden-Dauergleichstrom ist durch die Lastanschlüsse begrenzt.
DC-collector current / diode forward current limited by power terminals.

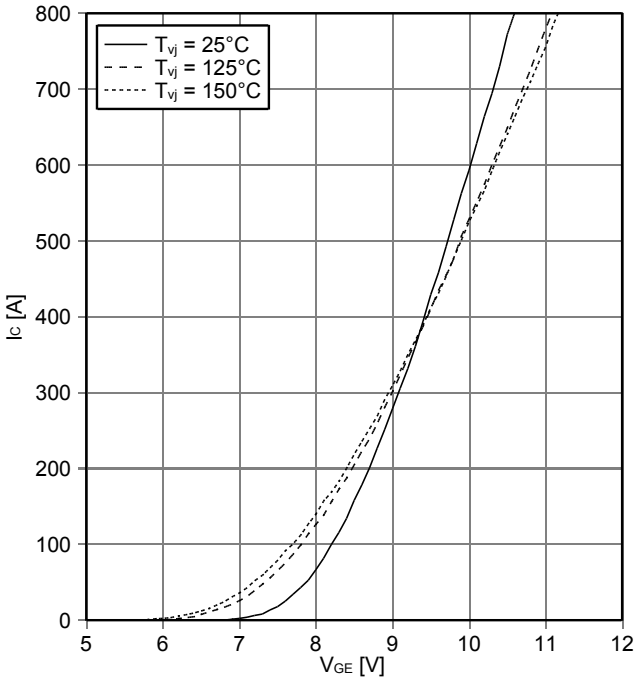
**Ausgangskennlinie IGBT,Wechselrichter (typisch)**
**output characteristic IGBT,Inverter (typical)**
$I_C = f(V_{CE})$
$V_{GE}$ = 15 V



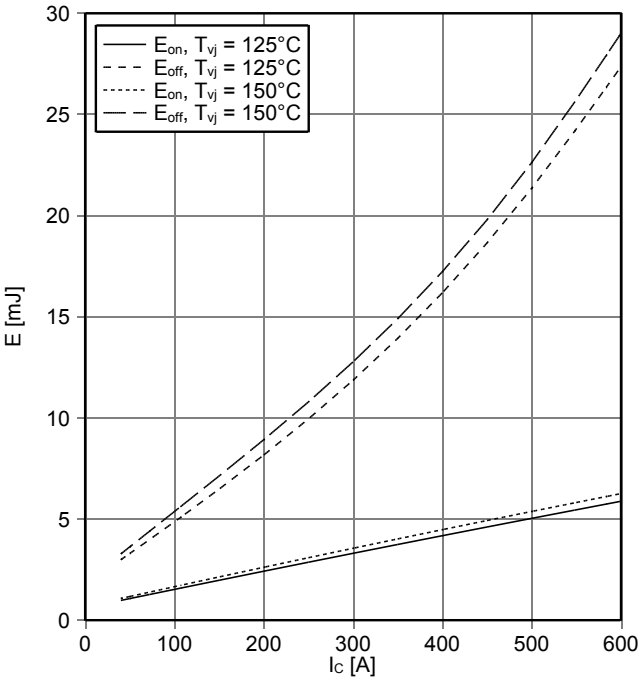

**Ausgangskennlinienfeld IGBT,Wechselrichter (typisch)**
**output characteristic IGBT,Inverter (typical)**
$I_C = f(V_{CE})$
$T_{vj}$ = 150°C




**Übertragungscharakteristik IGBT,Wechselrichter (typisch)**
**transfer characteristic IGBT,Inverter (typical)**
$I_C = f(V_{GE})$
$V_{CE}$ = 20 V

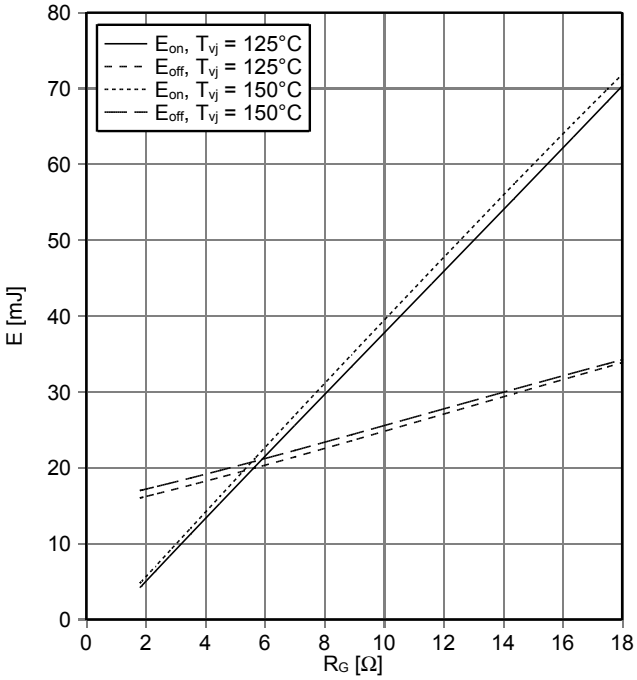



**Schaltverluste IGBT,Wechselrichter (typisch)**
**switching losses IGBT,Inverter (typical)**
$E_{on} = f(I_C)$, $E_{off} = f(I_C)$
$V_{GE}$ = ±15 V, $R_{Gon}$ = 1.8 Ω, $R_{Goff}$ = 1.8 Ω, $V_{CE}$ = 300 V

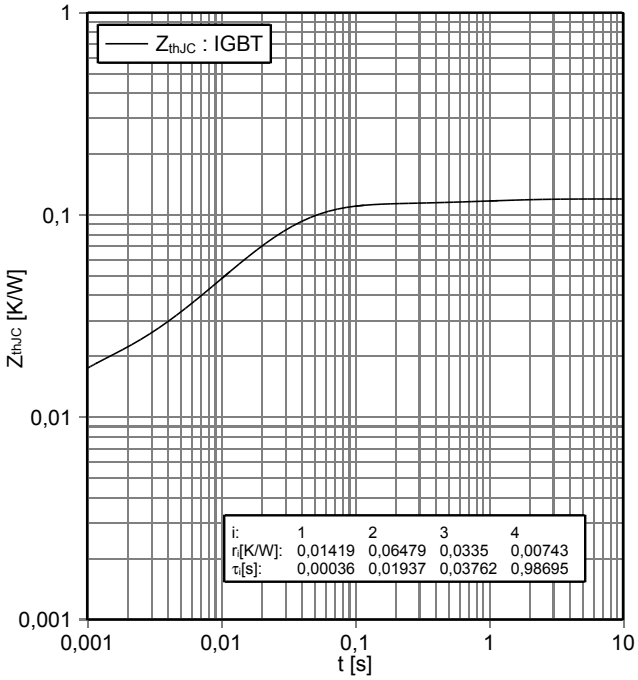



| | |
|---|---|
| prepared by: JZ | date of publication: 2013-11-05 |
| approved by: LB | revision: 3.1 |

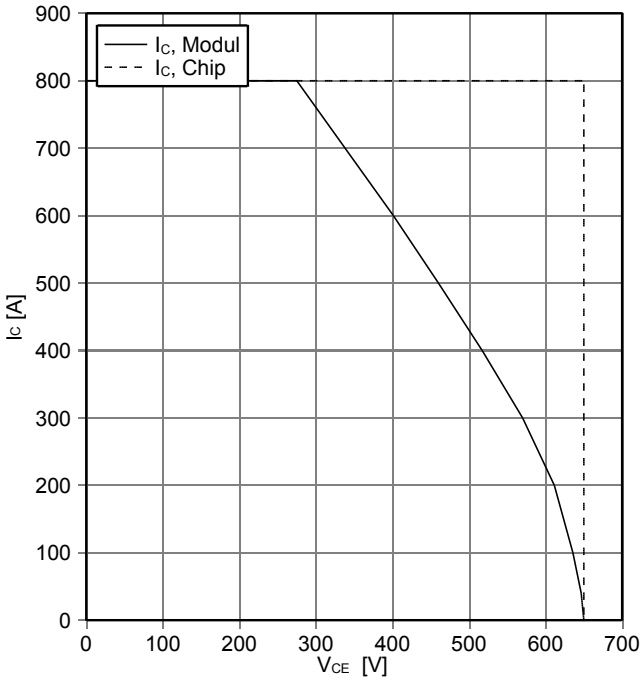
**Schaltverluste IGBT,Wechselrichter (typisch)**
**switching losses IGBT,Inverter (typical)**
$E_{on} = f(R_G)$, $E_{off} = f(R_G)$
$V_{GE}$ = ±15 V, $I_C$ = 400 A, $V_{CE}$ = 300 V



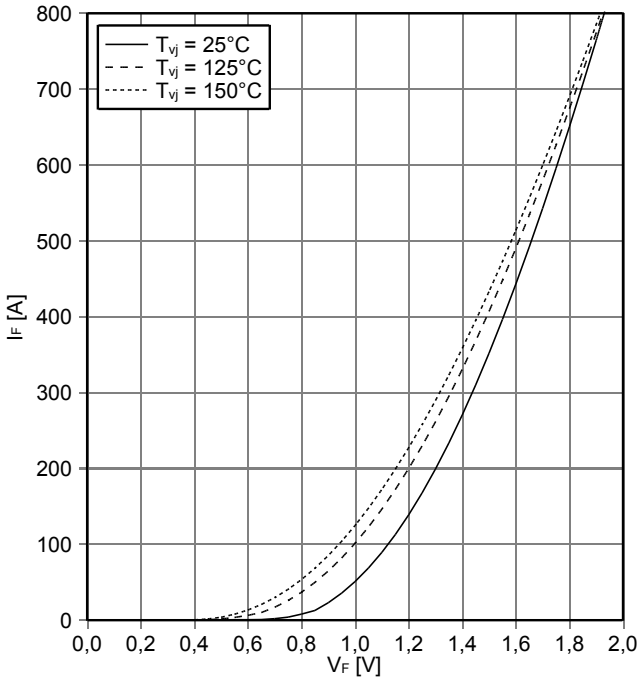

**Transienter Wärmewiderstand IGBT,Wechselrichter**
**transient thermal impedance IGBT,Inverter**
$Z_{thJC} = f(t)$




**Sicherer Rückwärts-Arbeitsbereich IGBT,Wechselrichter (RBSOA)**
**reverse bias safe operating area IGBT,Inverter (RBSOA)**
$I_C = f(V_{CE})$
$V_{GE}$ = ±15 V, $R_{Goff}$ = 1.8 Ω, $T_{vj}$ = 150°C

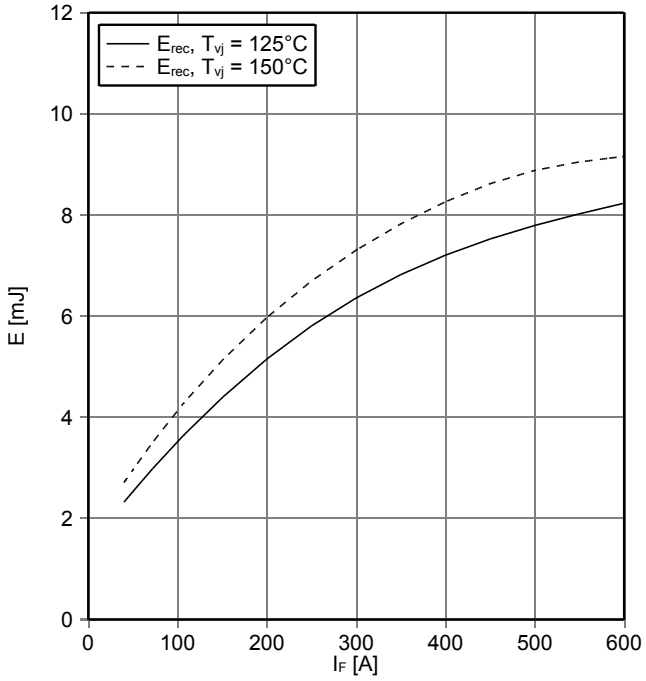



**Durchlasskennlinie der Diode, Wechselrichter (typisch)**
**forward characteristic of Diode, Inverter (typical)**
$I_F = f(V_F)$

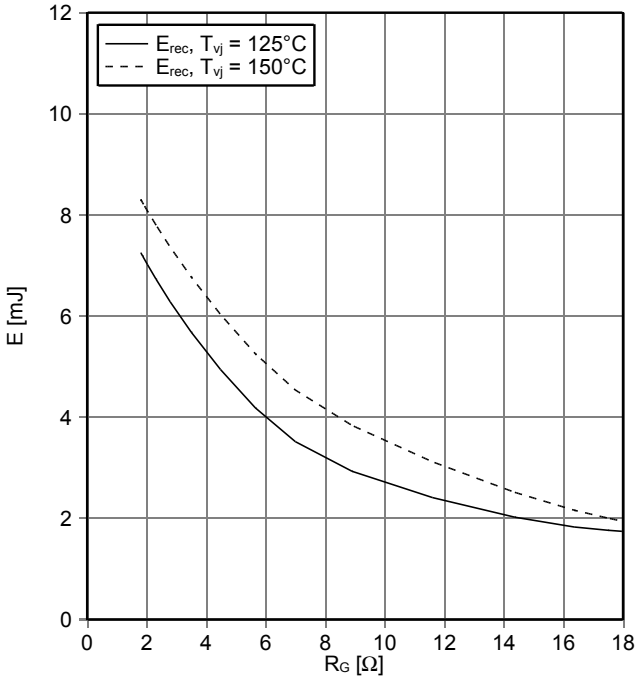



| | |
|---|---|
| prepared by: JZ | date of publication: 2013-11-05 |
| approved by: LB | revision: 3.1 |

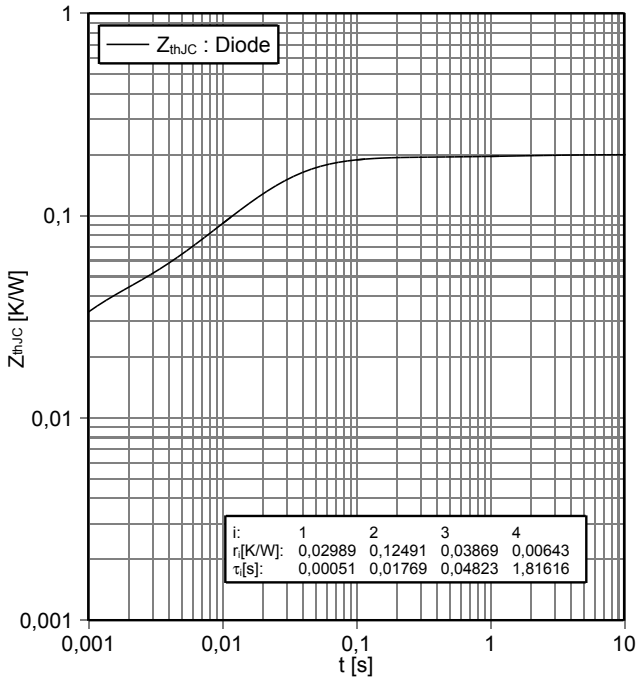
**Schaltverluste Diode, Wechselrichter (typisch)**
**switching losses Diode, Inverter (typical)**
$E_{rec} = f(I_F)$
$R_{Gon} = 1.8\ \Omega$, $V_{CE} = 300$ V



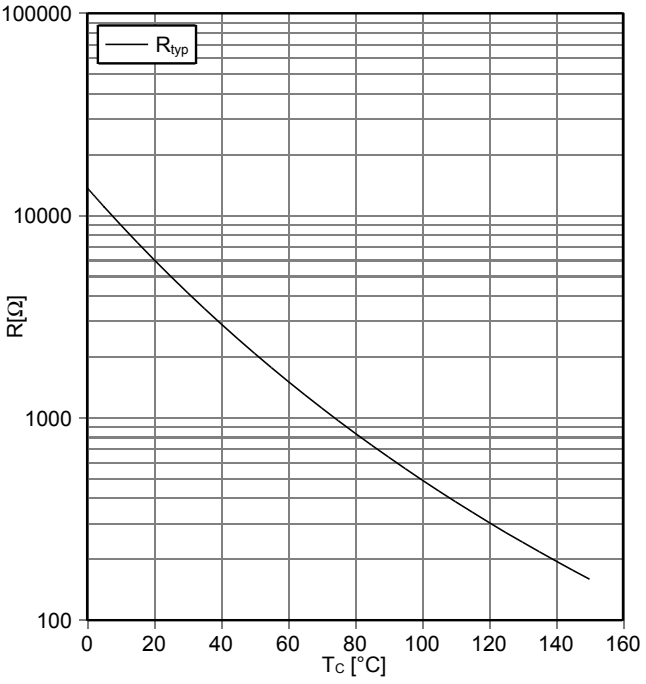

**Schaltverluste Diode, Wechselrichter (typisch)**
**switching losses Diode, Inverter (typical)**
$E_{rec} = f(R_G)$
$I_F = 400$ A, $V_{CE} = 300$ V




**Transienter Wärmewiderstand Diode, Wechselrichter**
**transient thermal impedance Diode, Inverter**
$Z_{thJC} = f(t)$

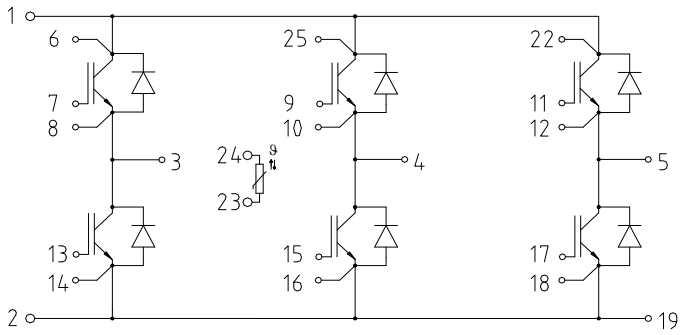



**NTC-Widerstand-Temperaturkennlinie (typisch)**
**NTC-Thermistor-temperature characteristic (typical)**
$R = f(T)$

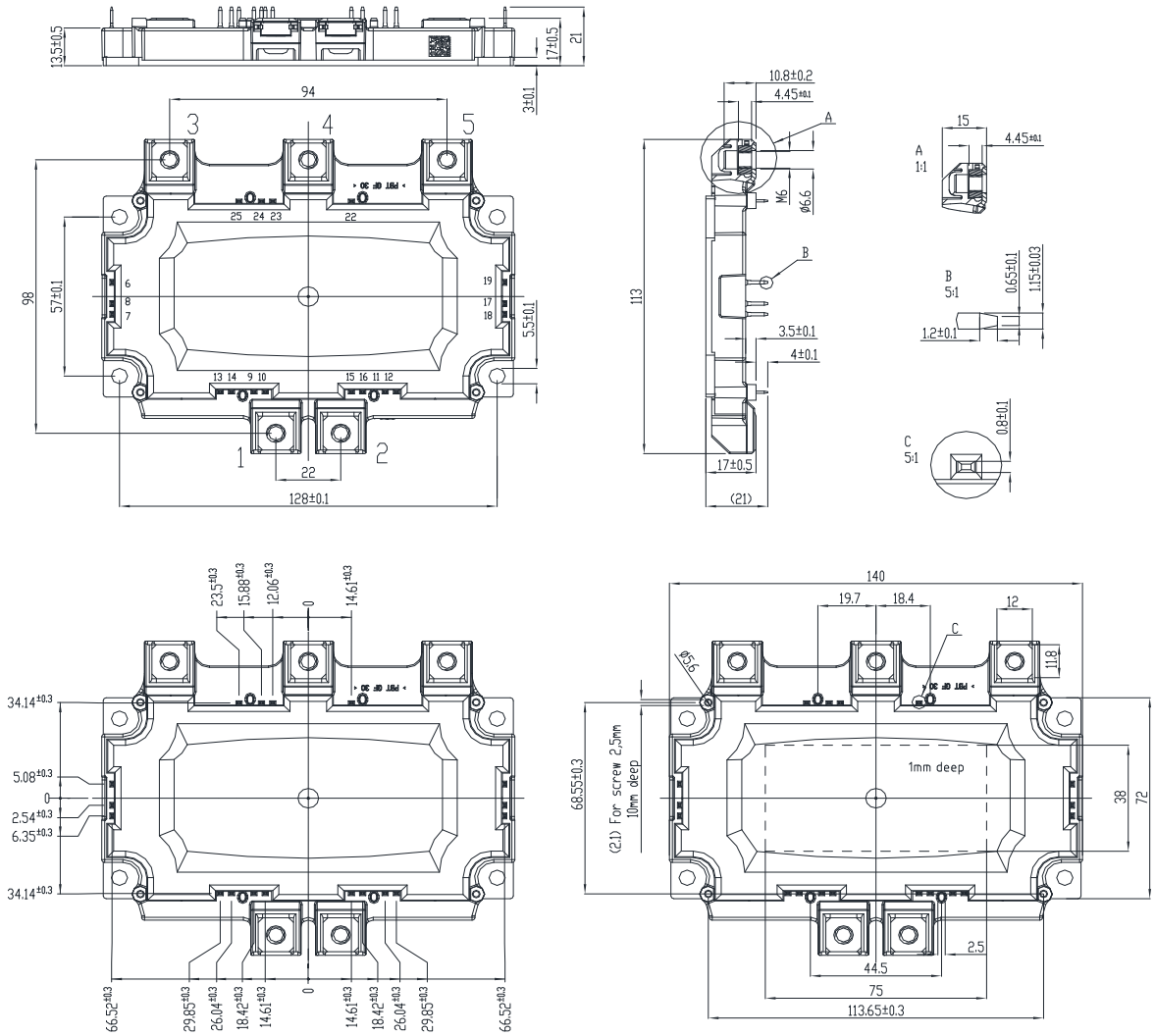



| | |
|---|---|
| prepared by: JZ | date of publication: 2013-11-05 |
| approved by: LB | revision: 3.1 |

## Schaltplan / circuit_diagram_headline




## Gehäuseabmessungen / package outlines




| | |
|---|---|
| prepared by: JZ | date of publication: 2013-11-05 |
| approved by: LB | revision: 3.1 |

## Nutzungsbedingungen

Die in diesem Produktdatenblatt enthaltenen Daten sind ausschließlich für technisch geschultes Fachpersonal bestimmt. Die Beurteilung der Eignung dieses Produktes für Ihre Anwendung sowie die Beurteilung der Vollständigkeit der bereitgestellten Produktdaten für diese Anwendung obliegt Ihnen bzw. Ihren technischen Abteilungen.

In diesem Produktdatenblatt werden diejenigen Merkmale beschrieben, für die wir eine liefervertragliche Gewährleistung übernehmen. Eine solche Gewährleistung richtet sich ausschließlich nach Maßgabe der im jeweiligen Liefervertrag enthaltenen Bestimmungen. Garantien jeglicher Art werden für das Produkt und dessen Eigenschaften keinesfalls übernommen. Die Angaben in den gültigen Anwendungs- und Montagehinweisen des Moduls sind zu beachten.

Sollten Sie von uns Produktinformationen benötigen, die über den Inhalt dieses Produktdatenblatts hinausgehen und insbesondere eine spezifische Verwendung und den Einsatz dieses Produktes betreffen, setzen Sie sich bitte mit dem für Sie zuständigen Vertriebsbüro in Verbindung (siehe www.infineon.com, Vertrieb&Kontakt). Für Interessenten halten wir Application Notes bereit.

Aufgrund der technischen Anforderungen könnte unser Produkt gesundheitsgefährdende Substanzen enthalten. Bei Rückfragen zu den in diesem Produkt jeweils enthaltenen Substanzen setzen Sie sich bitte ebenfalls mit dem für Sie zuständigen Vertriebsbüro in Verbindung.

Sollten Sie beabsichtigen, das Produkt in Anwendungen der Luftfahrt, in gesundheits- oder lebensgefährdenden oder lebenserhaltenden Anwendungsbereichen einzusetzen, bitten wir um Mitteilung. Wir weisen darauf hin, dass wir für diese Fälle
- die gemeinsame Durchführung eines Risiko- und Qualitätsassessments;
- den Abschluss von speziellen Qualitätssicherungsvereinbarungen;
- die gemeinsame Einführung von Maßnahmen zu einer laufenden Produktbeobachtung dringend empfehlen und gegebenenfalls die Belieferung von der Umsetzung solcher Maßnahmen abhängig machen.

Soweit erforderlich, bitten wir Sie, entsprechende Hinweise an Ihre Kunden zu geben.

Inhaltliche Änderungen dieses Produktdatenblatts bleiben vorbehalten.

## Terms & Conditions of usage

The data contained in this product data sheet is exclusively intended for technically trained staff. You and your technical departments will have to evaluate the suitability of the product for the intended application and the completeness of the product data with respect to such application.

This product data sheet is describing the characteristics of this product for which a warranty is granted. Any such warranty is granted exclusively pursuant the terms and conditions of the supply agreement. There will be no guarantee of any kind for the product and its characteristics. The information in the valid application- and assembly notes of the module must be considered.

Should you require product information in excess of the data given in this product data sheet or which concerns the specific application of our product, please contact the sales office, which is responsible for you ( see www.infineon.com ). For those that are specifically interested we may provide application notes.

Due to technical requirements our product may contain dangerous substances. For information on the types in question please contact the sales office, which is responsible for you.

Should you intend to use the Product in aviation applications, in health or live endangering or life support applications, please notify. Please note, that for any such applications we urgently recommend
- to perform joint Risk and Quality Assessments;
- the conclusion of Quality Agreements;
- to establish joint measures of an ongoing product survey, and that we may make delivery depended on the realization of any such measures.

If and to the extent necessary, please forward equivalent notices to your customers.

Changes of this product data sheet are reserved.


| | |
|---|---|
| prepared by: JZ | date of publication: 2013-11-05 |
| approved by: LB | revision: 3.1 |